Date: 02/07/2015 Page: 1/9 Clé: V8.21.301 Révision Responsable: GREFFET Nicolas

1c178b5badc5

# ADLV301 – Problème de couplage cavité-plaque

### Résumé:

L'objectif de ce cas-test est de calculer les champs de pression dans une cavité dont une des parois est flexible, les autres parois étant parfaitement rigides. L'excitation est mécanique et consiste en une force normale ponctuelle appliquée sur la paroi flexible.

Les éléments finis vibro-acoustiques sont utilisés (modélisation A : 3D FLUIDE et FLUI STRU)

Les conditions aux limites sont purement mécaniques. Elles permettent de créer une déformée sur la paroi flexible, déformée qui est à la source du champ acoustique dans la cavité. La transmission entre la plaque et le champs de cavité est gérée par des éléments d'interface « fluide-structure », propres à la modélisation par éléments finis vibro-acoustiques.

Les dimensions de la cavité sont suffisamment grandes et l'épaisseur de la plaque est faible de façon à observer un effet de couplage non-négligeable. De plus, l'excitation est décentrée afin de créer un champ de déplacement sur la plaque et un champ acoustique dans la cavité qui soient tri-dimensionnels.

Une solution analytique exacte existe. Ce cas-test permet donc de valider la prise en compte du couplage fluide-structure. D'autre part, ce cas-test valide le calcul de pression acoustique dans les éléments finis vibroacoustiques.

Manuel de validation Fascicule v8.21: Acoustique

Date: 02/07/2015 Page: 2/9 Révision Responsable: GREFFET Nicolas Clé: V8.21.301

1c178b5badc5

## Problème de référence

#### 1.1 Géométrie

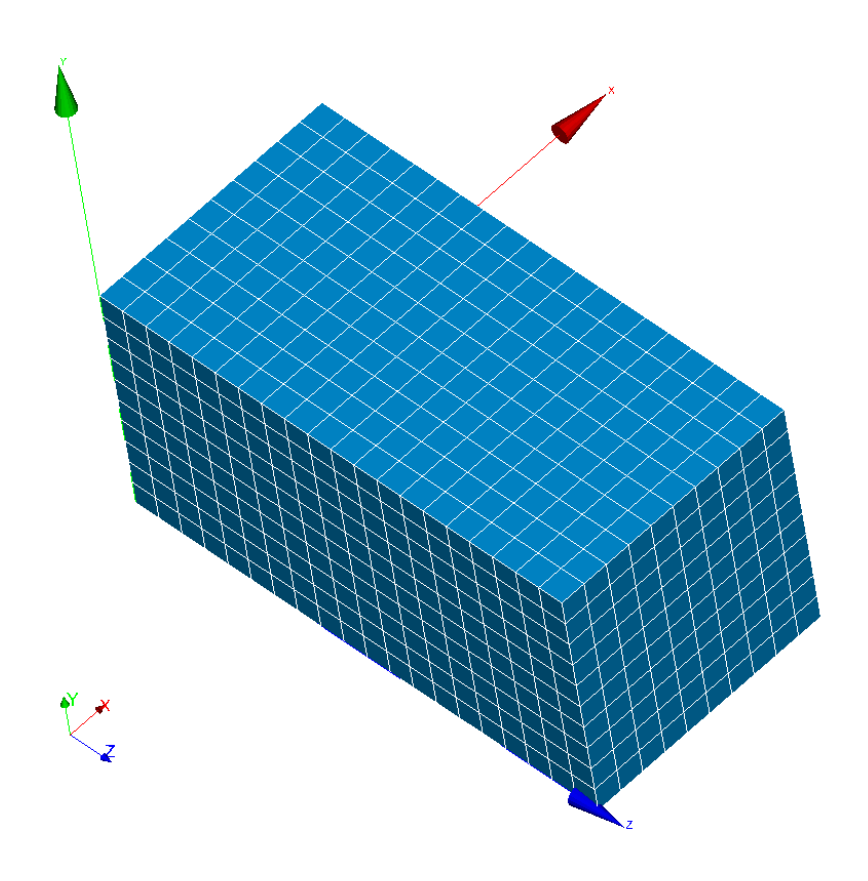


Figure 1.1 Géométrie du problème et système de chargement

Cavité parallélipipédique :

longueur :  $l_x = 1.0 m$ hauteur:  $l_v = 1.0 m$ largeur:  $l_z = 2.0 m$ 

Coordonnées des points :

NI: x=0.6, y=0.4, z=0.0N2: x=0.5, y=0.5, z=1.0N3: x=0.5, y=0.5, z=2.0

### Propriétés du matériau 1.2

Les propriétés matérielles du fluide sont celles de l'air :

| $c_F = 340 \mathrm{m.s}^{-1}$     | Vitesse du son |
|-----------------------------------|----------------|
| $\rho_F = 1.2 \mathrm{kg.m}^{-3}$ | Densité        |

Les propriétés matérielles de la plaque sont celles de l'acier :

Responsable : GREFFET Nicolas

Date : 02/07/2015 Page : 3/9 Clé : V8.21.301 Révision

1c178b5badc5

| $E = 2.1 \times 10^{11}  \text{Pa}$    | Module d'Young         |
|--|------------------------|
| v=0.3                                  | Coefficient de Poisson |
| $\rho_{\rm S} = 7800.0  \rm kg.m^{-3}$ | Masse volumique        |
| t=0.005 m                              | Épaisseur              |

# 1.3 Conditions aux limites et chargements

Déplacement imposé:

| Paroi de la plaque | DX=0 , $DY=0$ , $DZ=0$ |
|--------------------|------------------------|
|--------------------|------------------------|

Chargement imposé :

| pint NI | $F_z = 1 \text{ N}$ |
|---------|---------------------|
|---------|---------------------|

Manuel de validation Fascicule v8.21: Acoustique

Date: 02/07/2015 Page: 4/9 Clé: V8.21.301 Révision Responsable: GREFFET Nicolas

1c178b5badc5

### Solution de référence 2

### 2.1 Méthode de calcul utilisée pour la solution de référence

La solution de référence pour le problème de la représentation modale de la plaque est donnée dans

La solution de référence pour le problème de la représentation modale de la cavité est donnée dans

L'intégration de ces deux modèles et la prise en compte de leur interaction mutuelle mène à une solution modale couplée dont les équations sont décrites ci-après (voir aussi [3]).

Le problème consiste en l'évaluation de la réponse dynamique d'une plaque rectangulaire élastique couplée à une cavité acoustique parallélépipédique, et soumise à une force ponctuelle transversale. La géométrie du système envisagé est représentée à la page précédente.

La plaque a une épaisseur t et est constituée d'un matériau caractérisé par les constantes mécaniques usuelles : module de Young E , facteur de perte structurel  $\eta_S$  , coefficient de Poisson  $\nu$ et densité  $\rho_S$  . Le fluide est caractérisé par une densité  $\rho_F$  , une vitesse du son  $c_F$  et un facteur de perte  $\eta_F$ .

La force ponctuelle (amplitude F) est appliquée à la position  $(x_F, y_F)$ .

Les pulsations propres et les modes propres de la structure sont calculés par les expressions suivantes ( m , n=1,2,3,... ):

$$\omega_{mn}^{S} = \left(\frac{D}{\rho_{S}t}\right)^{1/2} \left(\left(\frac{m\pi}{L_{x}}\right)^{2} + \left(\frac{n\pi}{L_{y}}\right)^{2}\right) \text{ avec } D = \frac{Et^{3}}{12(1-v^{2})}$$

$$\Phi_{mn}^{S}(x, y) = A_{mn}^{S} \sin\left(\frac{m\pi x}{L_{x}}\right) \sin\left(\frac{n\pi x}{L_{y}}\right)$$

Le coefficient  $A_{mn}^{S}$  est choisi de façon à ce que le mode qui lui est relatif, soit orthonormalisé par rapport à la masse structurelle :

$$\int_{0}^{L} \int_{0}^{L} \rho_{s} \left(\Phi_{mn}^{S}(x,y)\right)^{2} t dx dy = 1$$

Ce qui conduit à la valeur suivante pour  $A_{mn}^{S}: A_{mn}^{S} = \frac{2}{(\rho_{S}t L_{x}L_{y})^{1/2}}$ 

Les pulsations propres et les modes propres acoustiques sont calculés en faisant l'hypothèse de parois rigides pour la cavité et conduisent aux expressions suivantes (i, j, k = 0, 1, 2, ...):

$$\omega_{ijk}^{F} = c \left( \left( \frac{i \pi}{L_{x}} \right)^{2} + \left( \frac{j \pi}{L_{y}} \right)^{2} + \left( \frac{k \pi}{L_{z}} \right)^{2} \right)^{1/2}$$

$$\Phi_{ijk}^{F}(x,y,z) = A_{ijk}^{F} \cos\left(\frac{i\pi x}{L_{x}}\right) \cos\left(\frac{j\pi y}{L_{y}}\right) \cos\left(\frac{k\pi z}{L_{z}}\right)$$

Responsable: GREFFET Nicolas

Date: 02/07/2015 Page: 5/9 Clé: V8.21.301 Révision

1c178b5badc5

Le coefficient  $A^F_{ijk}$  est évalué par la condition de normalisation par rapport à la masse acoustique :

$$\int_{0}^{L} \int_{0}^{L} \int_{0}^{L} \frac{1}{\rho_{F} c_{F}^{2}} \left[ \Phi_{ijk}^{F}(x, y, z) \right]^{2} dx dy dz = 1$$

et donc 
$$A_{ijk}^F$$
 vaut :  $A_{ijk}^F = \left(\frac{\rho_F c_F^2}{L_x^\prime L_y^\prime L_z^\prime}\right)^{1/2}$ 

avec :

$$L_{x}^{'} = L_{x} \text{ si } i=0$$
  $L_{y}^{'} = L_{y} \text{ si } j=0$   $L_{z}^{'} = L_{z} \text{ si } k=0$   
=0 si  $i>0$  =0 si  $i>0$  =0 si  $k>0$ 

Le système couplé est décrit par les équations suivantes :

$$\begin{bmatrix} \Lambda_S & \mathbf{E} \\ \omega^2 \mathbf{E}^T & \Lambda_F \end{bmatrix} \begin{pmatrix} X_S \\ X_F \end{pmatrix} = \begin{pmatrix} F^S \\ 0 \end{pmatrix}$$

avec:

•  $X_{S}$  et  $X_{F}$  sont les facteurs de participation modaux structurels et acoustiques respectivement ;

• 
$$\Lambda_S = \operatorname{diag}\left\{\left(\omega_{mn}^S\right)^2 - \omega^2\right\}$$

• 
$$\Lambda_F = \operatorname{diag} \left[ \left( \omega_{ijk}^F \right)^2 - \omega^2 \right]$$

• 
$$F^S = \Phi_{mn}^S(x_F, y_F) \cdot F$$

• 
$$E_{[mn]\{ijk\}} = \int_{0}^{L} \int_{0}^{L} \Phi_{mn}^{S}(x, y) \Phi_{ijk}^{F}(x, y, 0) dx dy = A_{mn}^{S} A_{ijk}^{F} c_{x} c_{y}$$

• 
$$c_x = -\frac{L_x}{\pi} \left( \frac{\cos(m-i)\pi}{2(m-i)} + \frac{\cos(m+i)\pi}{2(m+i)} \right)$$

• 
$$c_y = -\frac{L_y}{\pi} \left( \frac{\cos(n-j)\pi}{2(n-j)} + \frac{\cos(n+j)\pi}{2(n+j)} \right)$$

La réponse dynamique couplée (déplacement  $\,u\,$  pour la structure et pression acoustique  $\,p\,$  pour le fluide) peut alors être calculée par :

$$u(x,y) = \sum_{m,n} \Phi_{mn}^{S}(x,y) X_{mn}^{S}$$
  
$$p(x,y,z) = \sum_{i,j,k} \Phi_{ijk}^{F}(x,y,z) X_{ijk}^{F}$$

### 2.2 Résultats de référence

On calcule la pression aux points N1, N2, N3.

### 2.3 Incertitude sur la solution

Responsable : GREFFET Nicolas

Date : 02/07/2015 Page : 6/9 Clé : V8.21.301 Révision

1c178b5badc5

Solution analytique.

## 2.4 Références bibliographiques

- [1] Rayonnement acoustique des structures, Vibroacoustique, Interaction fluide-structure, p. 27 de Claude Lesueur Collection de la direction des Etudes et Recherches d'EDF.
- [2] Rayonnement acoustique des structures, Vibroacoustique, Interaction fluide-structure, p. 80 de Claude Lesueur Collection de la direction des Etudes et Recherches d'EDF.
- [3] Derivation of a reference solution for a Cavity-Plate problem par J.-P. Coyette de Numerical Integration Technologies Note interne.

Responsable : GREFFET Nicolas

Date: 02/07/2015 Page: 7/9 Clé: V8.21.301 Révision

1c178b5badc5

## 3 Modélisation A

## 3.1 Caractéristiques de la modélisation A

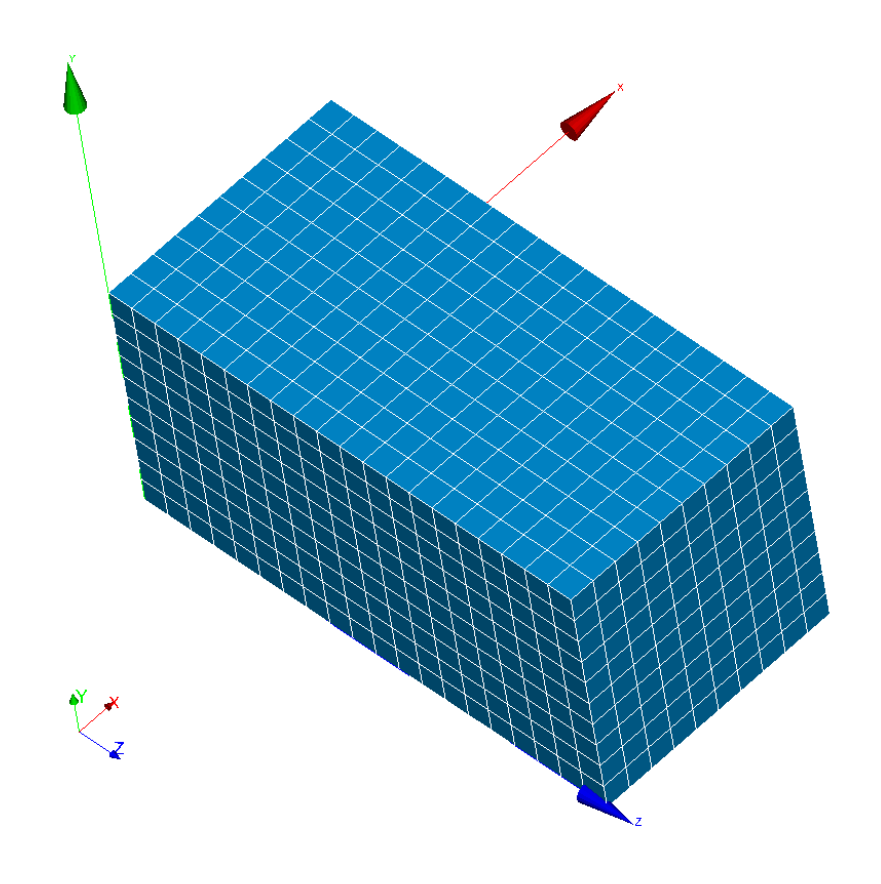


Figure 3.1. Maillage de la modélisation A

Modélisation 3D\_FLUIDE et FLUI\_STRU.

Découpage : 10 éléments suivant l'axe x ;

10 éléments suivant l'axe y ; 20 éléments suivant l'axe z.

# 3.2 Caractéristiques du maillage

Nombre de nœuds : 2541

Nombre de mailles et types : 2000 HEXA8 et 1100 QUAD4

## 3.3 Grandeurs testées et résultats

Fréquence 100 Hz:

| Position | Valeur référence | % différence |
|----------|------------------|--------------|
| NI       | −0.0584+0. i     | 18 %         |

Date: 02/07/2015 Page: 8/9 Clé: V8.21.301 Responsable: GREFFET Nicolas Révision

1c178b5badc5

| N2 | −0.02536+0. i | 2 %   |
|----|---------------|-------|
| N3 | 0.09224+0. i  | 0.2 % |

Manuel de validation Fascicule v8.21: Acoustique

Responsable: GREFFET Nicolas

Date : 02/07/2015 Page : 9/9 Clé : V8.21.301 Révision

Révision 1c178b5badc5

# 4 Synthèse des résultats

Les résultats sont satisfaisants mais la pression calculée au droit du point d'application de la charge reste néanmoins imprécise.

Manuel de validation Fascicule v8.21: Acoustique